

有限元法

制作人：舒适 魏华祎 易年余

案例 5：弦的平衡问题

1

弦平衡问题

- 背景问题
- 数学建模
- Sobolev 空间
- 虚功原理与极小位能原理
- Ritz-Galerkin 方法
- Galerkin 算法设计、实现与数值实验
- 理论分析
- 有限元方法
- 有限元算法设计与实现、数值实验
- 理论分析

设一根长 $l = 1$ 的弦，水平放置，两端固定在 A, B 两点，小荷载 $f(x)$ 作用在弦上，在荷载作用下，弦会发生形变，最终会达到平衡。

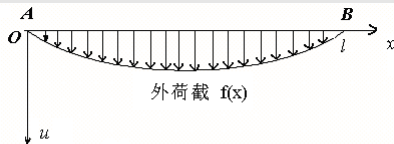


图 (a)

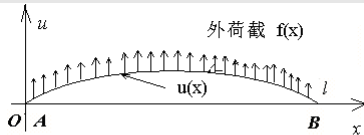


图 (b)

数学模型

在案例 1 中, 已利用力平衡原理导出了该问题的数学模型, 即位移函数 u 满足如下两点边值问题 ($I = (0, 1)$)

$$-\frac{d^2 u}{dx^2} = f, \quad x \in I, \quad (1)$$

$$u(0) = 0, \quad u(1) = 0 \quad (2)$$

下面利用极小位能原理, 推导弦平衡问题的另一重要数学模型.

极小位能原理

考虑弦在任一位置 $w = w(x)$ 时, 有

- ① 弦所对应的内能 (或应变能)

$$W_n = \frac{1}{2} \int_0^l T(w')^2 dx$$

- ② 弦克服外力所作的功为:

$$W_w = - \int_0^l f \cdot w dx$$

总能量 (位能) 为

$$J(w) = W_n + W_w = \frac{1}{2} \int_0^l T(w')^2 dx - \int_0^l f \cdot w dx \quad (3)$$

记弦的平衡位置所在的曲线为 u ，由极小位能原理知：在满足边值条件 (2) 的一切可能位置中，弦平衡位置的位能达到极小，即：

$$J(u) = \min_w J(w) \quad (4)$$

上述模型是不完备 (严格)：自变量函数 w 的所属空间？

力平衡方程

$$-Tu''(x) = f(x), 0 < x < l$$

对解空间的光滑性要求比极小问题对解空间的光滑性要求要高.

极小问题: $w, w' \in L^2(I)$.

下面需要引入弱意义下的导数, 以及相应的函数空间 (Sobolev 空间).

Sobolev 空间简史

前苏联数学家 S.L. Sobolev 从1938年开始, 在研究弹性体中的波动等问题时, 建立了一系列新的概念, 如广义解、广义导数、嵌入定理等。以泛函分析为工具发展了一套新型的可微函数空间 $W^{k,p}(\Omega)$ (Sobolev 空间) 理论, 该理论同时也为微分方程的近代研究奠定了理论基础.

后来许多学者改进和推广了 Sobolev 的工作, 如 1956—1958: 引进了“分数次求导”的概念, 建立了分数次 Sobolev 空间 $W^{s,p}(\Omega)$.

$L^2(I)$ 空间

Hilbert 空间

$$L^2(I), I = (a, b)$$

内积和范数

$$(f, g) = \int_a^b f(x)g(x)dx, \|f\| = \sqrt{(f, f)}$$

Schwartz 不等式: $|(f, g)| \leq \|f\| \cdot \|g\|$

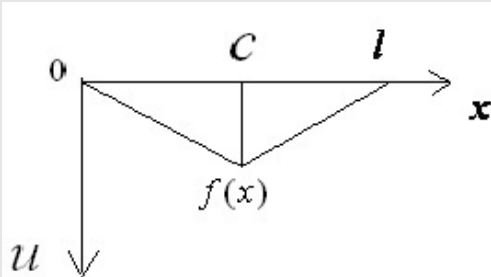
一阶广义导数

为什么要引入一阶广义导数？ 记空间

$$W = \{w : w, w' \in L^2(I)\}$$

如果 w' 为通常意义下的导函数（即逐点有定义的导函数），则

(i) 可能会丢失一些有很好的物理背景的极小解.



(ii) 函数空间 $C^1([0, 1])$, 在一种自然的范数

$$\|w\|_1 = \left\{ \int_I [w^2 + (w')^2] dx \right\}^{\frac{1}{2}} \quad (5)$$

下是不完备的.

广义导数是通过一个关于某一检验 (test) 函数空间的 “积分恒等式” 来定义的.

定义检验函数空间 $C_0^\infty(I)$: 在区间 I 上无穷次可微, 且在端点 a, b 的某一邻域内等于零的函数类.

例 1 $I = (-1, 1)$

$$\varphi(x) = \begin{cases} \exp(-\frac{1}{\eta^2 - x^2}), & |x| < \eta, \\ 0, & \text{在别处.} \end{cases}$$

其中 $\eta = 1/2$.

可以证明

$$\varphi(x) \in C_0^\infty(I)$$

空间 $C_0^\infty(I)$ 的特点:

在 $L^2(I)$ 中稠密

充分光滑

各阶导函数在边界点上为 0

下面引出所需要的积分恒等式.

设 $u(x), v(x) \in C^1[a, b]$, 则有如下分部积分公式

$$\int_a^b u(x)v'(x)dx = [u(x)v(x)]\Big|_a^b - \int_a^b v(x)u'(x)dx.$$

上述假设条件可适当的减弱, 如可减弱为(习题*):

设函数 $u, v \in C(\bar{I})$, u', v' 在 \bar{I} 上仅有有限个不连续点, 且在这些点左右极限存在 (对边界点仅要求单边极限存在).

\Rightarrow

$$\int_a^b f'(x)\varphi(x)dx = - \int_a^b f(x)\varphi'(x)dx, \forall \varphi \in C_0^\infty(I) \quad (6)$$

习题 设 $f \in C(\bar{I})$, $I = (a, b)$, f' 仅在 $x_c = \frac{a+b}{2}$ 处有间断, 且该点左右极限存在, 试证明

$f' \in L^2(I)$, 且对 $\forall \varphi \in C_0^\infty(I)$, 以下积分恒等式成立

$$\int_a^b f'(x)\varphi(x)dx = - \int_a^b f(x)\varphi'(x)dx, \forall \varphi \in C_0^\infty(I)$$

一阶广义导数的定义:

设 $f(x) \in L^2(I)$, 若存在 $g(x) \in L^2(I)$, 使等式

$$\int_a^b g(x)\varphi(x)dx = - \int_a^b f(x)\varphi'(x)dx, \forall \varphi \in C_0^\infty(I) \quad (7)$$

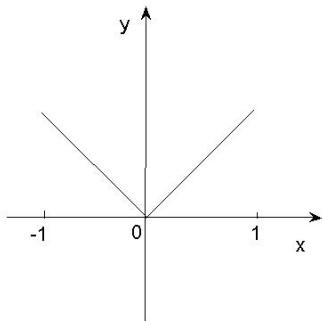
恒成立, 则称 $f(x)$ 在 I 上有一阶广义导数 $g(x)$, 仍记为

$$f'(x) = \frac{df}{dx} = g(x)$$

一阶广义导数和一阶常义导数的区别与联系：

- 1) 若 $f(x)$ 有通常意义下属于 $L^2(I)$ 的导数 $f'(x)$, 则 $f'(x)$ 也是 $f(x)$ 的一阶广义导数, 但反之不然;
- 2) 同一函数的广义导数可能不唯一.

例 2 试考察函数 $f(x) = |x|$, $x \in \bar{I}$, $I = (-1, 1)$ 的一阶广义导数和常义导数。



解: 显然 $f(x) \in C(\bar{I}) \subset L^2(I)$.

对 $\forall \varphi \in C_0^\infty(I)$, 有

$$\begin{aligned} - \int_{-1}^1 f(x) \varphi'(x) dx &= - \int_{-1}^0 f(x) \varphi'(x) dx - \int_0^1 f(x) \varphi'(x) dx \\ &= \int_{-1}^0 x \varphi'(x) dx - \int_0^1 x \varphi'(x) dx \\ &= [(x\varphi(x))]|_{-1}^0 - \int_{-1}^0 \varphi(x) dx \\ &\quad - [(x\varphi(x))]|_0^1 - \int_0^1 \varphi(x) dx \\ &= - \int_{-1}^0 \varphi(x) dx + \int_0^1 \varphi(x) dx \\ &= \int_{-1}^1 g(x) \varphi(x) dx \end{aligned}$$

$$g(x) = \begin{cases} -1 & -1 \leq x < 0 \\ c & x = 0 \\ 1 & 0 < x \leq 1 \end{cases}$$

容易验证 $g(x) \in L^2(I)$, 所以它是 $f(x)$ 的一阶广义导数。

注意 $f(x)$ 在 0 点处的导数没定义, 这说明有广义导数, 不一定有常义导数.

又由于 c 是任意有限数, 故在逐点意义下, 广义导数不唯一.

结论: 同一函数的广义导数在相差一个零测度集意义下是唯一的(几乎处处相等).

变分法的基本引理: 设 $f \in L^2(I)$ 满足

$$\int_a^b f(x)\varphi(x)dx = 0, \quad \forall \varphi \in C_0^\infty(I)$$

则 $f(x)$ 几乎处处为0.

习题 设 $f \in C(\bar{I})$, 试证明该引理 (见书).

利用变分法的基本引理可证明上述结论.

设 $g_1(x)$ 和 $g_2(x)$ 均为 $f(x)$ 的一阶广义导数, 则

$$\int_a^b g_1(x)\varphi(x)dx = - \int_a^b f(x)\varphi'(x)dx$$

$$\int_a^b g_2(x)\varphi(x)dx = - \int_a^b f(x)\varphi'(x)dx$$

两式相减, 得

$$\int_a^b [g_1(x) - g_2(x)]\varphi(x)dx = 0$$

\Rightarrow

$$g_1 = g_2, \quad a.e.$$



例 3 试证明阶梯函数

$$f(x) = \begin{cases} 0 & -1 \leq x \leq 0 \\ 1 & 0 < x \leq 1 \end{cases}$$

不存在广义导数。

反证法: 设 $f(x)$ 有广义导数 $g(x)$, 则 $g \in L^2(I)$ 满足

$$\begin{aligned} \int_{-1}^1 g(x) \varphi(x) dx &= - \int_{-1}^1 f(x) \varphi'(x) dx \\ &= - \int_0^1 \varphi'(x) dx \\ &= -\varphi(x)|_0^1 = \varphi(0) \end{aligned} \tag{8}$$

从而 $g(x) = \delta(x)$ (δ -函数).

利用 (8),

$$\begin{aligned} |\varphi(0)| &= \left| \int_{-1}^1 g(x) \varphi(x) dx \right| \\ &\leq \|g(x)\| \cdot \|\varphi(x)\| \end{aligned} \quad (9)$$

特别对 $0 < \varepsilon < 1$, 取 $C_0^\infty(I)$ 中的函数

$$\varphi(x) = \varphi_\varepsilon(x) = \begin{cases} \exp\left(-\frac{1}{1-(x/\varepsilon)^2}\right) & |x| < \varepsilon \\ 0 & \text{其他} \end{cases}$$

注意 $\varphi_\varepsilon(0) = e^{-1}$, 以及

$$\begin{aligned}\|\varphi_\varepsilon\|^2 &= \int_{-\varepsilon}^{\varepsilon} \left[\exp \left(-\frac{1}{1-(x/\varepsilon)^2} \right) \right]^2 dx \\ &= \int_{-\varepsilon}^{\varepsilon} \exp \left(-\frac{2}{1-(x/\varepsilon)^2} \right) dx \\ &= \varepsilon \int_{-1}^1 \exp \left(-\frac{2}{1-t^2} \right) dt < 2\varepsilon\end{aligned}$$

则有

$$e^{-1} \leq \sqrt{2\varepsilon} \|g(x)\|$$

从而导致矛盾.



习题 试给出分(有限)段代数多项式函数具有一阶广义导数的充要条件, 并证明之.

利用一阶广义导数, 可定义区间 I 上的一阶 Sobolev 空间 $H^1(I)$

$$H^1(I) := \{f | f \in L^2(I), f' \in L^2(I)\}$$

其中, f' 为 f 的一阶广义导数.

$H^1(I)$: 线性空间, 引入内积

$$(f, g)_1 = \int_a^b [f(x)g(x) + f'(x)g'(x)]dx, \quad \forall f, g \in H^1(I)$$

范数

$$\|f\|_1 = \sqrt{(f, f)_1} = \left\{ \int_a^b [f^2 + (f')^2]dx \right\}^{\frac{1}{2}}, \quad \forall f \in H^1(I)$$

可以证明 $H^1(I)$ 是完备内积空间: Hilbert 空间.

类似地, 可定义(习题*)

(1) m 阶广义导数 (P.15 习题1.2.1, 仅要求 $m = 2$)、 m 阶 Sobolev 空间 $H^m(I)$;

(2) 多元函数的广义偏导数.

极小问题的严格描述

定义 $H^1(I)$ 的子空间

$$H_0^1(I) := \{v | v \in H^1(I), v(a) = 0 = v(b)\}$$

极小问题 (4) 的严格描述: 求 $u \in H_0^1(I)$, $I = (0, l)$ 使得

$$J(u) = \min_{w \in H_0^1(I)} J(w) \quad (10)$$

其中

$$J(w) = \frac{1}{2} \int_0^l T(w')^2 dx - \int_0^l f \cdot w dx$$

等价变分问题

由于极小问题(10) 和两点边值问题

$$-Tu''(x) = f(x), \quad 0 < x < l \quad (11)$$

$$u(0) = 0, \quad u(l) = 0 \quad (12)$$

刻划同一物理背景问题, 所以存在等价性.

下面, 将针对一类更广泛的两点边值问题, 建立两种等价变分问题, 并回答上述等价性.

考察问题 (A)——两点 (混合) 边值问题:

$$Lu = -\frac{d}{dx}\left(p\frac{du}{dx}\right) + qu = f, \quad a < x < b \quad (13)$$

$$u(a) = 0, \quad u'(b) = 0 \quad (14)$$

其中, $f \in L^2(I)$, 且 (A) 满足椭圆型条件:

$$\begin{cases} p \in C^1(\bar{I}), p(x) \geq p_{\min} > 0 \\ q \in C^0(\bar{I}), q(x) \geq 0 \end{cases} \quad (15)$$

引入解 $u(x)$ 所属函数空间——试探 (trivial) 函数空间

$$H_E^1(I) := \{u : u \in H^1(I), u(a) = 0\}$$

一、 建立问题 (A) 的第一种等价问题

线性代数方程组求解问题: 求 $x^* = (x_1^*, x_2^*, \dots, x_n^*)^T \in R^n$, 满足

$$Ax^* = b \quad (16)$$

其中

$$b = (b_1, b_2, \dots, b_n)^T \in R^n, A = (a_{ij})_{n \times n}$$

第一种等价问题 (习题): 求 $x^* \in R^n$, 满足

$$(Ax^*, x) = (b, x), \forall x \in R^n \quad (17)$$

将问题 (16) 与问题 (A) 比较:

$$\begin{array}{lll} \text{解向量所属的空间 } R^n & \leftrightarrow & \text{解函数所属的空间 } H_E^1(I) \\ \text{系数矩阵 } A & \leftrightarrow & \text{微分算子 } L \\ \text{右端向量 } b & \leftrightarrow & \text{右端函数 } f \end{array}$$

等价问题(17)中, 任意向量 x 所属的空间 R^n 被称为检验 (test) 空间. 问题 (A) 所对应的 test 函数空间应为 $H_E^1(I)$.

注意: 检验函数与试探函数空间不一定相同.

下面从形式上推导问题 (A) 的第一种等价问题.

由 (13), 有

$$\int_a^b \left[-\frac{d}{dx} \left(p \frac{du}{dx} \right) + qu \right] v dx = \int_a^b f v dx, \quad \forall v \in H_E^1(I) \quad (18)$$

应用分部积分公式

$$\begin{aligned} \int_a^b -\frac{d}{dx} \left(p \frac{du}{dx} \right) v dx &= -v \left(p \frac{du}{dx} \right) \Big|_a^b + \int_a^b p \frac{du}{dx} \cdot \frac{dv}{dx} dx \\ &= \int_a^b p \frac{du}{dx} \cdot \frac{dv}{dx} dx - B(a, b) \end{aligned}$$

其中由边值条件 $v(a) = 0, u'(b) = 0$ 有

$$B(a, b) := [p(b)v(b)u'(b) - p(a)v(a)u'(a)] = 0$$

因此得到等价问题 (B): 求 $u \in H_E^1(I)$, 使

$$a(u, v) = (f, v), \quad \forall v \in H_E^1(I) \quad (19)$$

其中

$$a(u, v) = \int_a^b \left[p \frac{du}{dx} \cdot \frac{dv}{dx} + quv \right] dx \quad (20)$$

$$(f, v) = \int_a^b f v dx \quad (21)$$

称方程 (19) 为变分方程 (或虚功方程).

关于泛函 $a(u, v)$ 的若干性质

性质1 (双线性)

对 $\forall c_1, c_2 \in R^1, u, u_1, u_2, v, v_1, v_2 \in H_E^1(I)$, 成立

$$a(c_1 u_1 + c_2 u_2, v) = c_1 a(u_1, v) + c_2 a(u_2, v)$$

$$a(u, c_1 v_1 + c_2 v_2) = c_1 a(u, v_1) + c_2 a(u, v_2)$$

性质2 (对称性)

$$a(u, v) = a(v, u)$$

性质3 (正定性或强制性)

$$a(u, u) \geq \gamma \|u\|_1^2, \forall u \in H_E^1$$

这里, $\|\cdot\|_1$ 为 $H^1(I)$ 中的范数, 即

$$\|u\|_1 = \left[\int_a^b (u^2 + (u')^2) dx \right]^{1/2}$$

其中, γ 是与 u 无关的正常数.

证明：由 $a(u, v)$ 的定义及椭圆型条件，有

$$\begin{aligned} a(u, u) &= \int_a^b (qu^2 + p(u')^2) dx \\ &\geq \int_a^b p(u')^2 dx \\ &\geq p_{\min} \int_a^b (u')^2 dx \end{aligned} \quad (22)$$

注意

$$u(x) = \int_a^x u'(x) dx \quad (23)$$

利用 Schwarz 不等式, 有

$$|u(x)| = \left| \int_a^x u'(x) dx \right| \leq \sqrt{\int_a^x 1^2 dx} \cdot \sqrt{\int_a^x (u')^2 dx}$$

 \Rightarrow

$$u^2 \leq (x - a) \int_a^b (u')^2 dx$$

 \Rightarrow

$$\int_a^b u^2 dx \leq \frac{1}{2}(b - a)^2 \int_a^b (u')^2 dx$$

即

$$\int_a^b (u')^2 dx \geq \frac{2}{(b - a)^2} \cdot \int_a^b u^2 dx \quad (24)$$

由 (22) 和 (24) 式, 可得

$$\begin{aligned} a(u, u) &\geq p_{\min} \int_a^b (u')^2 dx \\ &= \frac{1}{2} p_{\min} \cdot \left[\int_a^b (u')^2 dx + \int_a^b (u')^2 dx \right] \\ &\geq \frac{1}{2} p_{\min} \cdot \left[\frac{2}{(b-a)^2} \int_a^b u^2 dx + \int_a^b (u')^2 dx \right] \\ &\geq \gamma \cdot \left[\int_a^b u^2 dx + \int_a^b (u')^2 dx \right] = \gamma \cdot \|u\|_1^2 \end{aligned}$$

其中

$$\gamma = \min \left(p_{\min} \frac{1}{(b-a)^2}, \frac{1}{2} p_{\min} \right)$$

与 u 无关.



性质4 (连续性或有界性)

$$a(u, v) \leq M \|u\|_1 \|v\|_1$$

其中, M 是与 u, v 无关的正常数.

虚功原理

定理 (虚功原理) 设 $u \in C^2(\bar{I})$, $p \in C^1(\bar{I})$, $q \in C^0(\bar{I})$, 则 u 是问题 (A) 的解的充分必要条件是, u 是问题 (B) 的解.

证明: 必要性显然成立, 下面证明充分性. 若 $u \in C^2(\bar{I})$ 是问题 (B) 的解, 则 $u \in H_E^1(I) \cap C^2(\bar{I})$, 且成立

$$a(u, v) = (f, v), \quad \forall v \in H_E^1(I)$$

\Leftrightarrow

$$\int_a^b \left(p \frac{du}{dx} \frac{dv}{dx} + quv - fv \right) dx = 0, \quad \forall v \in H_E^1(I)$$

\Leftrightarrow

$$p \frac{du}{dx} v \Big|_a^b + \int_a^b \left[-\frac{d}{dx} \left(p \frac{du}{dx} \right) + qu - f \right] v dx = 0, \quad \forall v \in H_E^1(I)$$

 \Leftrightarrow

$$p(b)u'(b)v(b) + \int_a^b \left[-\frac{d}{dx} \left(p \frac{du}{dx} \right) + qu - f \right] v dx = 0, \quad \forall v \in H_E^1(I) \quad (25)$$

 \Rightarrow

$$\int_a^b \left(-\frac{d}{dx} \left(p \frac{du}{dx} \right) + qu - f \right) v dx = 0, \quad \forall v \in C_0^\infty(I)$$

由 $u \in C^2(\bar{I})$, $p \in C^1(\bar{I})$, $q \in C^0(\bar{I})$ 及变分法基本引理知

$$-\frac{d}{dx}\left(p\frac{du}{dx}\right) + qu = f \quad (26)$$

将 (26) 代入 (25), 得

$$p(b)v(b)u'(b) = 0, \forall v \in H_E^1(I)$$

从而

$$u'(b) = 0$$

即 u 是问题 (A) 的解.



二、建立问题 (A) 的第二种等价问题

从形式上推导出问题 (A) 的第二种等价问题: 求泛函极小问题.

关键: 泛函 $J(u)$ 的构造.

考察线性代数方程组求解问题: 求 $x^* \in R^n$, 满足

$$Ax^* = b$$

第二种等价问题 (习题): 设 A 为对称正定矩阵, 求 $x^* \in R^n$, 满足

$$J(x^*) = \min_{x \in R^n} J(x) \quad (27)$$

其中

$$J(x) = \frac{1}{2}(Ax, x) - (b, x) \quad (28)$$

$$\begin{array}{ccc} R^n & \leftrightarrow & H_E^1(I) \\ A & \leftrightarrow & L \\ b & \leftrightarrow & f \end{array}$$

可形式上给出问题 (A) 所对应的泛函

$$J(u) = \frac{1}{2}(Lu, u) - (f, u), \quad \forall u \in H_E^1(I) \quad (29)$$

这里

$$Lu = -\frac{d}{dx}\left(p\frac{du}{dx}\right) + qu \quad (30)$$

又考察弦平衡问题. 两点边值问题中微分方程 (见(11))

$$Lu := -Tu''(x) = f(x)$$

相应的极小问题(见 (10)) 中的泛函

$$J(u) = \frac{1}{2} \int_0^l T(u')^2 dx - \int_0^l f \cdot u dx, \quad \forall u \in H_0^1(I)$$

注意

$$(Lu, u) = \int_0^l T(u')^2 dx, \quad \forall u \in H_0^1(I) \quad (31)$$

所以也有

$$J(u) = \frac{1}{2}(Lu, u) - (f, u), \quad \forall u \in H_0^1(I)$$

关于(31) 的证明. 事实上,

$$\begin{aligned}(Lu, u) &= \int_0^l (-Tu''u)dx = -T \int_0^l udu' \\&= -T[(u \cdot u')|_0^l - \int_0^l (u' \cdot u')dx] \\&= \int_0^l T(u')^2 dx\end{aligned}$$



利用 (29) 定义的 $J(u)$, 并注意

$$(Lu, u) = a(u, u), \quad \forall u \in H_E^1(I) \quad (32)$$

所以问题 (A) 所对应的泛函

$$J(u) = \frac{1}{2}a(u, u) - (f, u), \quad \forall u \in H_E^1(I) \quad (33)$$

关于 (32) 的证明.

利用边值条件 $u(a) = 0, u'(b) = 0$, 容易验证

$$\begin{aligned}(Lu, u) &= \int_a^b \left[-\frac{d}{dx} \left(p \frac{du}{dx} \right) + qu \right] u dx \\&= \int_a^b \left(p \left(\frac{du}{dx} \right)^2 + qu^2 \right) dx - u \left(p \frac{du}{dx} \right) \Big|_a^b \\&= \int_a^b \left(p \left(\frac{du}{dx} \right)^2 + qu^2 \right) dx \\&= a(u, u)\end{aligned}$$



因此问题 (A) 的第二种等价问题 (C) 为: 求 $u \in H_E^1(I)$, 使

$$J(u) = \min_{v \in H_E^1(I)} J(v) \quad (34)$$

其中泛函 $J(\cdot)$ 由 (33) 定义.

定理 (极小位能原理) 设 $u \in C^2(\bar{I})$, 则 u 是问题 (A) 的解的充分必要条件是, u 是问题 (C) 的解.

证明：只需证明问题 (C) 的解与问题 (B) 的解的等价性.

设 $u \in C^2(\bar{I})$, 则 u 是问题 (C) 的解的充分必要条件是

$$u \in H_E^1(I)$$

$$J(u + tv) \geq J(u), \forall v \in H_E^1(I), t \in R$$

\Leftrightarrow

$$\begin{aligned} & \frac{1}{2}a(u + tv, u + tv) - (f, u + tv) \\ & - [\frac{1}{2}a(u, u) - (f, u)] \geq 0, \forall v \in H_E^1(I), t \in R \end{aligned} \quad (35)$$

利用 $a(\cdot, \cdot)$ 的对称性, 有

$$\begin{aligned} & a(u + tv, u + tv) \\ & = a(u, u) + ta(u, v) + ta(v, u) + t^2a(v, v) \\ & = a(u, u) + 2ta(u, v) + t^2a(v, v) \end{aligned}$$

将上式代入(35)

\Leftrightarrow

$$t[a(u, v) - (f, v)] + \frac{t^2}{2}a(v, v) \geq 0, \quad \forall v \in H_E^1(I), t \in R \quad (36)$$

 \Leftrightarrow

$$a(u, v) = (f, v), \quad \forall v \in H_E^1(I) \quad (37)$$

事实上, 显然有 $(37) \Rightarrow (36)$, 下面证明

$$(36) \Rightarrow (37)$$

只需对 $v \neq 0$ 的情形证明之.

反证法: 若存在 $\bar{v} \in H_E^1(I)$, 使

$$\alpha := a(u, \bar{v}) - (f, \bar{v}) \neq 0$$

不妨设 $\alpha < 0$ (否则, 令 $\bar{v} = -\bar{v}$), 则由 (36) 式知

$$t[a(u, \bar{v}) - (f, \bar{v})] + \frac{t^2}{2}a(\bar{v}, \bar{v}) = \alpha t + \beta t^2 \geq 0 \quad \forall t \in \mathbb{R} \quad (38)$$

其中, $\alpha, \beta := a(\bar{v}, \bar{v})/2 > 0$ (利用 $a(\bar{v}, \bar{v})$ 的强制性) 均不依赖于 t .

注意: 显然存在充分小的 $t > 0$ 使得 (36) 不成立. □

注意：虚功原理比极小位能原理 (要求对称) 应用要广.

习题 试对问题

$$\begin{cases} -\frac{d}{dx}\left(x\frac{du}{dx}\right) + u = 6, & 1 < x < 2 \\ u(1) = 8, & u'(2) + 2u(2) = 3 \end{cases}$$

建立相应虚功原理或极小位能原理。

综上: 为两点边值问题 (A) :

$$Lu = -\frac{d}{dx}\left(p\frac{du}{dx}\right) + qu = f, \quad a < x < b$$
$$u(a) = 0, \quad u'(b) = 0$$

建立两种等价问题:

变分问题 (B): 求 $u \in H_E^1(I)$, 使

$$a(u, v) = (f, v), \quad \forall v \in H_E^1(I)$$

极小问题 (C) 为: 求 $u \in H_E^1(I)$, 使

$$J(u) = \min_{v \in H_E^1(I)} J(v)$$

冯康原理:

同一物理问题可以有許多不同的数学形式, 它们在数学上是等价的, 但在实践中并不等效.

从不同的数学形式可能导致不同的数值计算方法, 原问题的基本特征在离散后应尽可能得到保持.

分别从微分方程边值问题的等价问题 (B) 和 (C) 出发, 可以给出相应的数值求解方法: Galerkin 方法和 Ritz 方法。

Ritz: 德国光学家, Ritz方法于 19 世纪末提出

Galerkin: 俄国工程师, Galerkin 方法于 1906 年提出
是Ritz方法的推广

下面主要介绍 Galerkin 方法.

Galerkin 方法

Galerkin方法（一种数值求解方法）的**基本思想**：

将试探函数空间和检验函数空间 $H_E^1(I)$ (**无限维**) 分别用其适当的有限维子空间 V_n 近似代替.

将无限计算问题化为**有限计算**问题.

设 $\phi_1, \phi_2, \dots, \phi_n$ 是 V_n 的一组基, 则对 $\forall u_n \in V_n$, 有

$$u_n(x) = \sum_{i=1}^n c_i \phi_i(x)$$

变分问题 (B) 的近似变分问题为：求 $u_n \in V_n$ ，使得

$$a(u_n, v_n) = (f, v_n), \forall v_n \in V_n$$

\Leftrightarrow 求 $u_n \in V_n$ ，使得

$$a(u_n, \phi_i) = (f, \phi_i), \quad i = 1, 2, \dots, n \quad (39)$$

\Leftrightarrow 求 $u_n(x) = \sum_{i=1}^n c_i \phi_i(x)$ 中的系数 c_1, c_2, \dots, c_n ，满足

$$\sum_{j=1}^n a(\phi_j, \phi_i) c_j = (f, \phi_i), \quad i = 1, 2, \dots, n \quad (40)$$

Ritz 方法

Ritz 方法（一种数值求解方法）的**基本思想**：

将函数空间 $H_E^1(I)$ 用有限维子空间 V_n 近似代替.
极小问题 (C) 的近似问题：求 $u_n \in V_n$ ，使得

$$J(u_n) = \min_{v_n \in V_n} J(v_n)$$

注意

$$J(u_n) = \frac{1}{2} \sum_{i=1}^n \sum_{j=1}^n a(\phi_i, \phi_j) c_i c_j - \sum_{i=1}^n c_i (\phi_i, f)$$

$u_n(x) = \sum_{i=1}^n c_i \phi_i(x)$ 是最小值函数 \Leftrightarrow 系数 c_1, \dots, c_n , 满足(习题)

$$\frac{\partial J(u_n)}{\partial c_j} = 0 \Leftrightarrow \sum_{j=1}^n a(\phi_j, \phi_i) c_j = (f, \phi_i), \quad i = 1, 2, \dots, n$$

由此知: Ritz 方法与 Galerkin 方法导出数值解满足的计算公式完全相同, 习惯上称方程 (40) 为 **Ritz-Galerkin 方程**, 并称相应的数值解为 **Galerkin (或 Ritz) 数值解**.

Ritz 方法与 Galerkin 方法的比较

Galerkin 方法：方法推导更直接，**适用面更广**，如不要求 $a(u, v)$ 对称.

Ritz 方法：力学意义更明确，理论基础比较容易建立.

例. 两点边值问题:

$$\begin{cases} Lu := -u'' + u' + u = f, & 0 < x < 1 \\ u(0) = 1, u'(1) = 0 \end{cases} \quad (41)$$

与之相对应的双线性形式为

$$a(u, v) = \int_a^b (u'v' + u'v + uv)dx$$

注意: 当 Ritz-Galerkin 方法用于非齐次边值问题时, 试探和检验函数空间不相同, 但通过**齐次化处理**后, 可转化为相同情形.

例如对上例, 令 $w = u - (1 - x)$ 则

$$\begin{cases} Lw = -w'' + w' + w = g, & 0 < x < 1 \\ w(0) = 0, w'(1) = 1 \end{cases}$$

其中 $g(x) = f(x) + x$.

w 满足齐次本质边界条件.

考虑如下两点边值问题

$$\begin{cases} Lu := u'' + u = -x, & 0 < x < 1 \\ u(0) = u(1) = 0 \end{cases} \quad (42)$$

其真解为 $u(x) = \frac{\sin x}{\sin 1} - x$.

令 $H_0^1(I) = \{u \in H^1(I), u(0) = u(1) = 0\}$, 则上述边值问题 (形式上) 的基于虚功方程的变分问题为:

求 $u \in H_0^1(I)$, 满足

$$a(u, v) = -(x, v), \forall v \in H_0^1(I), \quad (43)$$

其中

$$a(u, v) = (Lu, v) = \int_0^1 (-u'v' + uv) dx \quad (44)$$

记 $\omega(x) = x(1-x)$, 引入 $H_0^1(I)$ 的 n 维近似 (代数多项式) 子空间

$$U_n = \{\phi_1, \dots, \phi_n\}, \phi_i = \omega(x)x^{i-1}, i = 1, \dots, n$$

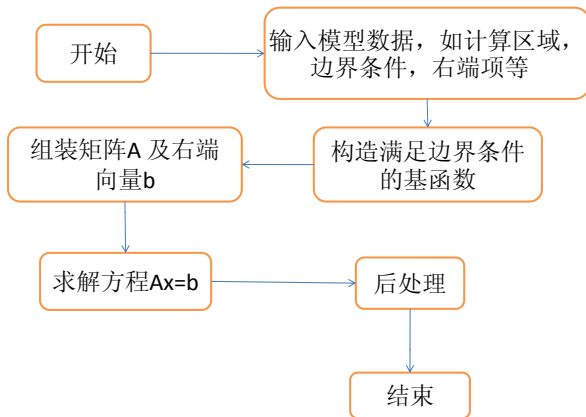
利用 Ritz-Galerkin 计算公式 (40) 可知: 问题 (42) 关于 U_n 下的近似变分问题解 $u_n(x) = \sum_{i=1}^n c_i \phi_i(x)$ 中的系数

$c = (c_1, \dots, c_n)^T \in R^n$ 满足

$$\sum_{j=1}^n a(\phi_j, \phi_i) c_j = -(x, \phi_i), i = 1, 2, \dots, n$$

下面首先给出求 Galerkin 数值解的算法流程, 然后再给出实现算法的 Matlab 代码, 最后给出数值实验结果.

算法流程



算法实现 I

```
function Galerkin_test
%% 准备初始数据

% 微分方程模型数据。函数 modeldata 返回一个结构体 pde
% pde.f : 右端项函数
% pde.exactu : 真解函数
% pde.Du : 真解导数
pde = modeldata();

% 区间
I = [0,1];

% 空间维数（基函数个数）
n = 2;

% 积分精度
option.quadOrder = 10;

%% Galerkin 方法求解
uh = Galerkin(pde,I,n,option);
```

算法实现 II

```
%% 显示数值解图像  
showsolution(uh, '-k');  
  
%% 计算代表点处真解和数值解  
x = [1/4; 1/2; 3/4];  
[v, ~] = basis(x, n);  
format shorte  
u = pde.exactu(x)  
ux = v' * uh
```

```
function pde = modeldata()
%% MODELDATA
%  $u(x) = \sin(x)/\sin(1) - x$ 
%  $Du(x) = \cos(x)/\sin(1)$ 
%  $f(x) = -x$ 

pde = struct('exactu',@exactu,'f',@f,'Du',@Du);
%% 精确解
function z = exactu(x)
z = sin(x)/sin(1) - x;
end
%% 右端项
function z = f(x)
z = -x;
end
%% 精确解梯度
function z = Du(x)
z = cos(x)/sin(1);
end
end
```

```

function [phi,gradPhi] = basis(x,n)
%% BASIS 计算  $n$  维空间  $n$  个基函数在  $m(=length(x))$  个点上的取值
%
%  $H_0^{-1}([0,1])$  的  $n$  维近似子空间, 取  $w(x) = x*(1-x)$ ,  $n$  个基函数分别为:
%       $\phi_i = w(x)*x^{i-1}$ ,  $i = 1, 2, \dots, n$ 
%
% 输入:
%      x(1:m,1): 点
%      n: 空间维数
%
% 输出:
%      phi(1:n,1:m): phi(i,j) 为第  $i$  个基函数在第  $j$  个点处的函数值.
%      gradPhi(1:n,1:m): gradPhi(i,j) 为第  $i$  个基函数在第  $j$  个点处的导数值.

m = length(x); % 点的个数

%% 函数值
w = x.*(1-x);
v = ones(n,m);
v(2:end,:) = bsxfun(@times,v(2:end,:),x');
v = cumprod(v,1);
phi = bsxfun(@times,v,w');

```

```
%% 函数梯度值
gw = 1-2*x;
gv = [zeros(1,m);v(1:end-1,:)];
gv(3:end,:) = bsxfun(@times,(2:n-1)', gv(3:end,:));
gradPhi = bsxfun(@times,v,gw') + bsxfun(@times,gv,w');
```



```
function uh = Galerkin(pde,I,n,option)
%% GALERKIN 组装矩阵 A 和右端向量 b , 并求解
%
%   pde: 模型数据
%   I : 区间
%   n : 空间维数

% 区间长度
h = I(2) - I(1);

% 区间  $[0,1]$  上的 Gauss 积分点及权重
[lambda, weight] = quadpts1d(option.quadOrder);
%积分点个数
nQuad = length(weight);

%% 构造 A 和 b
A = zeros(n,n);
b = zeros(n,1);
for q = 1:nQuad
    gx = lambda(q);
    w = weight(q);
    [phi,gradPhi] = basis(gx,n);
    A = A+(-gradPhi*gradPhi' + phi*phi')*w;
    b = b + pde.f(gx)*phi*w;
```

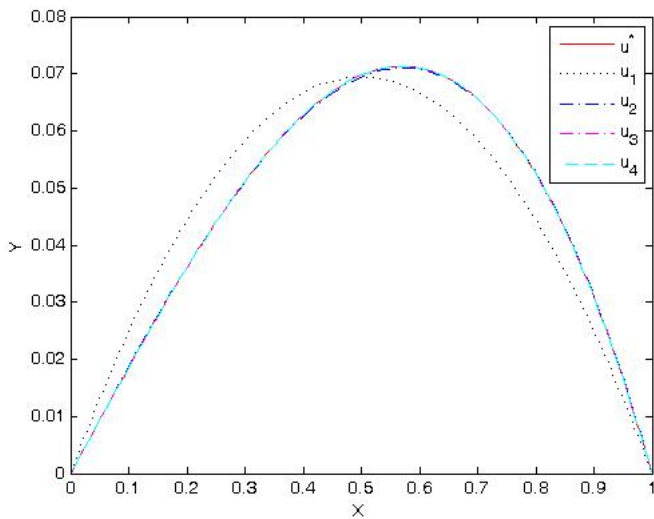
```
end  
A = h*A;  
b = h*b;  
  
%% 求解  
uh = A\b;
```

实验结果 I

下面分别给出了 $n = 1, 2, 3, 4$ 时, Galerkin 数值解 $u_n(x)$ 与真解 u^* 在三个代表点处的值:

x	$\frac{1}{4}$	$\frac{1}{2}$	$\frac{3}{4}$
u^*	4.401365432e-002	6.974696366e-002	6.00561663e-002
u_1	5.208333333e-002	6.944444444e-002	5.208333333e-002
u_2	4.408028455e-002	6.944444444e-002	6.00863821e-002
u_3	4.403238182e-002	6.974637681e-002	6.00384793e-002
u_4	4.401416668e-002	6.974637681e-002	6.00566945e-002

实验结果 II



由该例子可见：尽管 $a(u, v)$ 不满足强制性条件 (从而不满足虚功原理的假设条件), 即 Galerkin 方法的源头没理论基础, 但就算法本身而言, Galerkin 方法仍然可用 (因为对真解有逼近), 因此, Galerkin 方法的适应范围可以比理论上的假设条件更广。

习题 1 试举一反例说明 $a(u, v) = \int_0^1 (-u'v' + uv)dx$ 不满足强制性.

Galerkin (或 Ritz) 方法的适定性

定理. 基于 Galerkin (或 Ritz) 数值解存在且唯一。

证明: 只需证明方程 (40) 的系数**矩阵 A 正定**, 即

$$(Aw, w) \geq 0, \forall w \in R^n, (Aw, w) = 0 \Leftrightarrow w = 0$$

注意: 对 $\forall w := (w_1, \dots, w_n)^T$, 令函数

$$u_n(x) = \sum_{i=1}^n w_i \phi_i(x)$$

有

$$(Aw, w) = a(u_n, u_n) \tag{45}$$

事实上,

$$\begin{aligned}Aw &= \left(\sum_{j=1}^n a_{1,j} w_j, \sum_{j=1}^n a_{2,j} w_j, \cdots, \sum_{j=1}^n a_{n,j} w_j \right)^T \\&= \left(\sum_{j=1}^n a(\phi_1, \phi_j) w_j, \cdots, \sum_{j=1}^n a(\phi_n, \phi_j) w_j \right)^T \\&= \left(a(\phi_1, \sum_{j=1}^n w_j \phi_j), \cdots, a(\phi_n, \sum_{j=1}^n w_j \phi_j) \right)^T \\&= \left(a(\phi_1, u_n), \cdots, a(\phi_n, u_n) \right)^T\end{aligned}$$

因此

$$(Aw, w) = \sum_{i=1}^n w_i a(\phi_i, u_n) = a\left(\sum_{i=1}^n w_i \phi_i, u_n\right) = a(u_n, u_n)$$



利用 (45) 和 $a(\cdot, \cdot)$ 的强制性, 可得

$$(Aw, w) = a(u_n, u_n) \geq \gamma \|u_n\|_1^2 \geq 0, \quad \forall w \in R^n$$

且

$$(Aw, w) = 0 \Leftrightarrow u_n \equiv 0$$

又由于 $u_n(x) = \sum_{i=1}^n w_i \phi_i(x)$, 而 $\phi_1, \phi_2, \dots, \phi_n$ 是 V_n 的一组基, 所以

$$u_n \equiv 0 \Leftrightarrow w_i = 0, i = 1(1)n \Leftrightarrow w = \vec{0}$$

这样就证得了 A 的正定性. □

Galerkin (或 Ritz) 数值解的收敛性

设 u 是变分问题 (B) 的真解函数, 即满足

$$a(u, v) = (f, v), \forall v \in H_E^1(I) \quad (46)$$

u_n 是 Galerkin 数值解函数, 即满足

$$a(u_n, v_n) = (f, v_n), \forall v_n \in V_n \quad (47)$$

利用 (46) 和 (47), 并注意 $V_n \subset H_E^1(I)$, 可得 (正交投影性质):

$$a(u - u_n, v_n) = 0, \forall v_n \in V_n \quad (48)$$

\Rightarrow (利用(48))

$$\begin{aligned}\|u - u_n\|_1^2 &\leq \gamma^{-1} a(u - u_n, u - u_n) \\ &= \gamma^{-1} a(u - u_n, u) = \gamma^{-1} a(u - u_n, u - v_n) \\ &\leq \gamma^{-1} M \|u - u_n\|_1 \|u - v_n\|_1\end{aligned}$$

\Rightarrow (拟最佳逼近性)

$$\|u - u_n\|_1 \leq C \inf_{v_n \in V_n} \|u - v_n\|_1 \quad (49)$$

完全性: $\{\phi_i\}_1^\infty$ 的一切可能的线性组合于 $H_E^1(I)$ 中稠密.

定理. 若 $\{\phi_i\}_1^\infty$ 于 $H_E^1(I)$ 中是完全的, 则有

$$\lim_{n \rightarrow \infty} \|u - u_n\|_1 = 0$$

事实上, 由完全性知: 对于真解函数 $u \in H_E^1(I)$, 存在函数序列

$$\{\psi_n\}_1^\infty, \psi_n \in V_n = \text{span}\{\phi_1, \dots, \phi_n\}$$

使得

$$\lim_{n \rightarrow \infty} \|u - \psi_n\|_1 = 0$$

\Rightarrow (利用(49))

$$\|u - u_n\|_1 \leq C \inf_{v_n \in V_n} \|u - v_n\|_1 \leq C \|u - \psi_n\|_1$$

\Rightarrow

$$\lim_{n \rightarrow \infty} \|u - u_n\|_1 = 0$$



Ritz-Galerkin 法的主要困难

- 1 近似子空间 (或基函数) 的合理选取
- 2 数值积分计算量大
- 3 代数方程组求解困难

线性有限元空间

对求解区间 I 做网格剖分



1 网格剖分节点

$$a = x_0 < x_1 < \cdots < x_{n-1} < x_n = b$$

称 $x_i (i = 1, 2, \dots, n-1)$ 为第 i 个内部节点, x_0 和 x_n 为边界节点;

2 网格剖分单元 分别称 $I_i = [x_{i-1}, x_i]$ 和 $h_i = x_i - x_{i-1}$ 为第 i 个剖分单元和剖分步长.

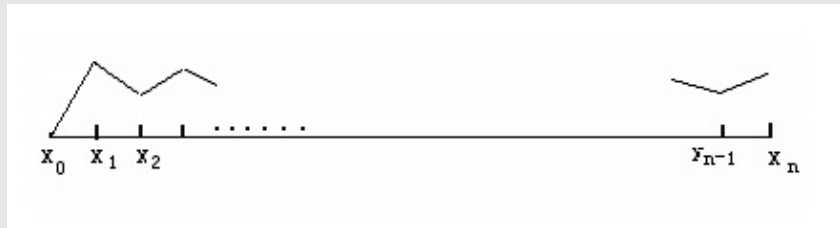
记 $h = \max_{1 \leq i \leq n} h_i$.

定义

$$V_E^h = \{u_h \in C(\bar{I}) : u_h|_{I_i} \in P_1(I_i), 1 \leq i \leq n, u_h(a) = 0\}$$

$P_1(I_i)$: I_i 上线性代数多项式的全体.

称 V_E^h 为 1 次 Lagrange 型有限元空间 (简称线性元空间).



线性元空间 V_E^h 的维数

$$m := \dim V_E^h = 2n - (n - 1) - 1 = n$$

V_E^h 中的函数在 $I_i = [x_{i-1}, x_i]$ 上形如: $a_i + b_i x$.

记 $u_i = u_h(x_i)$, $i = 0, 1, \dots, n$, 对任给的 $u_h \in V_E^h$, 分别按两种形式给出其表示式.

(a) 分段线性表示 (单元形状函数)

单元形状函数 $u_h^k(x)$: 为 $u_h(x)$ 在 $I_k = [x_{k-1}, x_k]$ 上的限制函数.

由 Lagrange 插值公式

$$u_h^k(x) = u_{k-1} l_{k,0}(x) + u_k l_{k,1}(x), \quad x \in I_k$$

其中

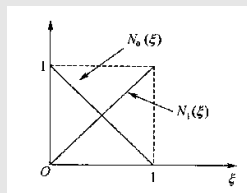
$$l_{k,0}(x) = \frac{x - x_k}{x_{k-1} - x_k}, \quad l_{k,1}(x) = \frac{x - x_{k-1}}{x_k - x_{k-1}}$$

为关于插值点 x_{k-1} 和 x_k 的 1 次 Lagrange 因子.

单元形状函数的另一种表示公式

在参考 (或标准) 单元 $[0, 1]$ 上求得所谓的标准插值基函数:

$$N_0(\xi) = 1 - \xi, \quad N_1(\xi) = \xi$$



引入仿射变换:

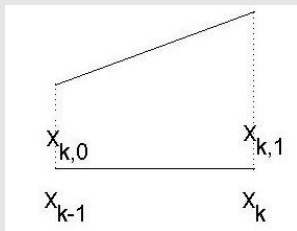
$$\xi = F_k(x) := \frac{x - x_{k-1}}{h_k} : I_k \rightarrow [0, 1] \quad (50)$$

逆变换

$$x = X(\xi) := x_{k-1}N_0(\xi) + x_kN_1(\xi), \quad [0, 1] \rightarrow I_k \quad (51)$$

单元形状函数

$$u_h^k(x) = u_{k-1}N_0(\xi) + u_kN_1(\xi), \quad x \in I_k \quad (52)$$



$u_h(x)$ 可分段线性表示为

$$u_h(x) = \begin{cases} u_h^1(x), & x \in I_1 \\ u_h^2(x), & x \in I_2 \\ \vdots \\ u_h^n(x), & x \in I_n \end{cases}$$

(b) 整体表示

关键: 给出线性元空间 V_E^h 的一组基函数.

在每个非本质边界插值点 x_i 处, 引入函数

$$\phi_i(x) \in V_E^h, \quad i = 1, \dots, n$$

满足插值条件

$$\phi_i(x_j) = \delta_{i,j}, \quad j = 1, \dots, n \quad (53)$$

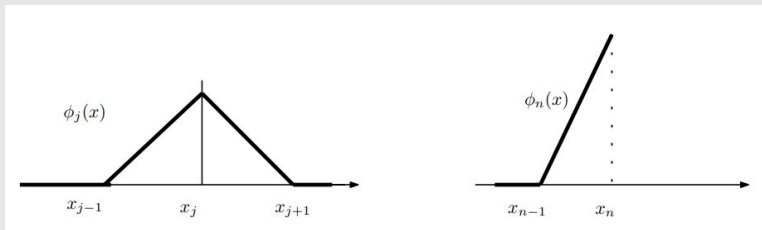
经简单计算, 可得

$$\begin{cases} \phi_i(x) = \begin{cases} 1 + \frac{x-x_i}{h_i}, & x_{i-1} \leq x < x_i, \\ 1 - \frac{x-x_i}{h_{i+1}}, & x_i \leq x \leq x_{i+1}, \\ 0, & \text{在别处,} \end{cases} \\ \quad \quad \quad i = 1, 2, \dots, n-1 \\ \phi_n(x) = \begin{cases} 1 + \frac{x-x_n}{h_n}, & x_{n-1} \leq x \leq x_n, \\ 0, & \text{在别处.} \end{cases} \end{cases} \quad (54)$$

借助于仿射变换 (50) 及 $[0, 1]$ 上的标准插值基函数, 则 (54) 也可表示为

$$\left\{ \begin{array}{l} \phi_i(x) = \begin{cases} N_1(\xi), & \xi = \frac{x-x_{i-1}}{h_i}, & x_{i-1} \leq x < x_i, \\ N_0(\xi), & \xi = \frac{x-x_i}{h_{i+1}}, & x_i \leq x \leq x_{i+1}, \\ 0, & \text{在别处,} \end{cases} \\ \quad \quad \quad i = 1, 2, \dots, n-1 \\ \phi_n(x) = \begin{cases} N_1(\xi), & \xi = \frac{x-x_{n-1}}{h_n}, & x_{n-1} \leq x \leq x_n, \\ 0, & \text{在别处,} \end{cases} \end{array} \right. \quad (55)$$

其几何形状如下图所示



易知 $\{\phi_i(x), i = 1, 2, \dots, n\}$ 是一组线性无关的函数系, 即构成了线性元空间 V_E^h 中一组基, 称之为线性元空间 V_E^h 的 Lagrange 节点基函数.

事实上, 若

$$u_n(x) = \sum_{i=1}^n c_i \phi_i(x) \equiv 0$$

特别地, 取 $x = x_i$ 代入上式, 可得 $c_i = 0$, 这样就证得了 $\{\phi_i\}_{i=1}^n$ 是一组线性无关的函数系。□

利用 (53), 易验证

$$u_h(x) = \sum_{i=1}^n u_i \phi_i(x). \quad (56)$$

至此, 解决了 $H_E^1(I)$ 的有限维子空间 (线性元空间) 的构造问题. 下面利用 **Galerkin 方法** 求解问题 (A).

基于 Galerkin 方法的线性有限元方程

1) 等价变分问题

基于虚功原理的等价变分问题 (问题 (B)): 求 $u \in H_E^1(I)$, 使

$$a(u, v) = (f, v), \forall v \in H_E^1(I) \quad (57)$$

其中

$$\begin{cases} a(u, v) = \int_a^b \left[p \frac{du}{dx} \cdot \frac{dv}{dx} + quv \right] dx \\ (f, v) = \int_a^b f v dx \end{cases} \quad (58)$$

下面给出基于 $H_E^1(I)$ 的子空间 V_E^h (线性元空间) 的 Galerkin 数值解计算公式.

2) 近似变分问题

问题 (B) 的近似变分问题: 求 $u_h(x) \in V_E^h$, 使得

$$a(u_h, v_h) = (f, v_h), \forall v_h \in V_E^h \quad (59)$$

3) 线性有限元方程

将 $u_h(x) = \sum_{i=1}^n u_i \phi_i(x)$ 代入 (59), 并将 v_h 取为基函数 ϕ_j , 则有

$$a\left(\sum_{i=1}^n u_i \phi_i, \phi_j\right) = (f, \phi_j), \quad j = 1, 2, \dots, n$$

 \Leftrightarrow

$$\sum_{i=1}^n a(\phi_i, \phi_j) u_i = (f, \phi_j), \quad j = 1, 2, \dots, n \quad (60)$$

\Leftrightarrow (注意: 当 $|j - i| \geq 2$ 时, $\phi_i \cdot \phi_j = 0$)

- ① 当 $2 \leq j \leq n-1$ 时, 方程 (60) 的左端只有三个非零系数: $a(\phi_j, \phi_j)$ 和 $a(\phi_{j\pm 1}, \phi_j)$.
- ② 当 $j = 1$ 时, 方程 (60) 的左端只有两个非零系数: $a(\phi_1, \phi_1)$ 和 $a(\phi_2, \phi_1)$.
- ③ 当 $j = n$ 时, 方程 (60) 的左端只有两个非零系数: $a(\phi_n, \phi_n)$ 和 $a(\phi_{n-1}, \phi_n)$.

基于线性元子空间的 Galerkin 数值解满足的计算公式:

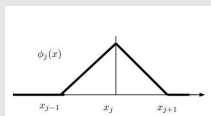
$$KU = b \quad (61)$$

其中 n 阶方阵 $K = (a_{i,j})$ 和 n 维向量 $b = (b_1, \dots, b_n)^T$ 分别为

$$K = \begin{bmatrix} a(\phi_1, \phi_1) & a(\phi_1, \phi_2) & & & \\ a(\phi_2, \phi_1) & a(\phi_2, \phi_2) & & & \\ & \ddots & \ddots & \ddots & \\ & & a(\phi_{n-1}, \phi_{n-2}) & a(\phi_{n-1}, \phi_{n-1}) & a(\phi_{n-1}, \phi_n) \\ & & & a(\phi_n, \phi_{n-1}) & a(\phi_n, \phi_n) \end{bmatrix}$$
$$b = \begin{bmatrix} (f, \phi_1) \\ \vdots \\ (f, \phi_n) \end{bmatrix}$$

利用一般的 Galerkin 理论可知 (61) 的解存在且唯一.

利用 (55) 和 (58)



$$a(u, v) = \int_a^b \left[p \frac{du}{dx} \cdot \frac{dv}{dx} + quv \right] dx$$

$$\begin{aligned}a_{jj} &= \int_{x_{j-1}}^{x_j} [p(\phi_j')^2 + q(\phi_j)^2] dx + \int_{x_j}^{x_{j+1}} [p(\phi_j')^2 + q(\phi_j)^2] dx \\&= \int_{x_{j-1}}^{x_j} [p(\frac{dN_1(\xi)}{dx})^2 + q(N_1(\xi))^2] dx \quad (\text{这里 } \xi = \frac{x-x_{j-1}}{h_j}) \\&\quad + \int_{x_j}^{x_{j+1}} [p(\frac{dN_0(\xi)}{dx})^2 + q(N_0(\xi))^2] dx \quad (\text{这里 } \xi = \frac{x-x_j}{h_{j+1}}) \\&= a(N_1, N_1)_{I_j} + a(N_0, N_0)_{I_{j+1}}\end{aligned}\tag{62}$$

类似可得 (习题):

- ① 矩阵非对角元素 $a_{j,j-1} := a(\phi_{j-1}, \phi_j)$ ($j = 2, \dots, n$) 的表示式为

$$a_{j,j-1} = \int_{x_{j-1}}^{x_j} [p(\phi'_{j-1}\phi'_j) + q(\phi_{j-1}\phi_j)] dx = a(N_0, N_1)_{l_j} \quad (63)$$

- ② 由对称性知: 矩阵非对角元素 $a_{j,j+1} := a(\phi_{j+1}, \phi_j)$ ($j = 1, \dots, n-1$) 的表示式为

$$a_{j,j+1} = a(N_1, N_0)_{l_{j+1}} \quad (64)$$

方程的右端项 ($j = 1, \dots, n-1$)

$$\begin{aligned}
 b_j &:= \int_a^b f \phi_j dx = \int_{x_{j-1}}^{x_j} f(x) \phi_j(x) dx + \int_{x_j}^{x_{j+1}} f(x) \phi_j(x) dx \\
 &= \int_{x_{j-1}}^{x_j} f(x) N_1(\xi) dx \quad (\text{这里 } \xi = \frac{x-x_{j-1}}{h_j}) \\
 &\quad + \int_{x_j}^{x_{j+1}} f(x) N_0(\xi) dx \quad (\text{这里 } \xi = \frac{x-x_j}{h_{j+1}}) \\
 &= (f, N_1)_{I_j} + (f, N_0)_{I_{j+1}} \quad (65)
 \end{aligned}$$

$$b_n = (f, N_1)_{I_n} = h_n \int_0^1 f(x_{n-1} + h_n \xi) N_1(\xi) d\xi$$

习题 1 (P.47. 2.1.1) 仅要求

- (1) 网格剖分：作 2 或 3 段的等距剖分；
- (2) 利用中矩形公式计算积分 (65)。

习题 2* 导出非齐次两点边值问题

$$\begin{cases} Lu = -\frac{d}{dx}\left(p\frac{du}{dx}\right) + qu = f, & a < x < b \\ u(a) = \gamma, & u'(b) + \alpha u(b) = \beta \end{cases}$$

的线性元方程, 其中

- (1) 正的光滑函数 $p(x)$, 非负连续函数 $q(x)$ 可自己定义, 如取

$$p(x) = x - a + 1, q(x) = 0$$

- (2) $\gamma, \alpha \geq 0, \beta$ 也可自己定义, 如取 $\gamma = 2, \alpha = 1, \beta = 1$.

$$\begin{aligned}
a(u_h, v_h)_{I_k} &= a(u_{k-1}N_0 + u_kN_1, v_{k-1}N_0 + v_kN_1)_{I_k} \\
&= a(N_0, N_0)_{I_k} u_{k-1} v_{k-1} + a(N_1, N_0)_{I_k} u_k v_{k-1} \\
&\quad + a(N_0, N_1)_{I_k} u_{k-1} v_k + a(N_1, N_1)_{I_k} u_k v_k \\
&= (v_{k-1}, v_k) K^{I_k} \begin{pmatrix} u_{k-1} \\ u_k \end{pmatrix}
\end{aligned}$$

其中

$$K^{I_k} := \begin{bmatrix} a_{11}^{I_k} & a_{12}^{I_k} \\ a_{21}^{I_k} & a_{22}^{I_k} \end{bmatrix} = \begin{bmatrix} a(N_0, N_0)_{I_k} & a(N_1, N_0)_{I_k} \\ a(N_0, N_1)_{I_k} & a(N_1, N_1)_{I_k} \end{bmatrix} \quad (66)$$

称为单元刚度矩阵.

$$\begin{aligned}(f, v_h)_{I_k} &= (f, v_{k-1} N_0 + v_k N_1) \\ &= (f, N_0)_{I_k} v_{k-1} + (f, N_1)_{I_k} v_k \\ &= (v_{k-1}, v_k) b^{I_k}\end{aligned}$$

其中

$$b^{I_k} = \begin{pmatrix} b_1^{I_k} \\ b_2^{I_k} \end{pmatrix} = \begin{pmatrix} (f, N_0)_{I_k} \\ (f, N_1)_{I_k} \end{pmatrix} \quad (67)$$

称为单元荷载向量.

由 (62), (63), (64) 和 (66) 可知: 总刚度矩阵的元素与单元刚度矩阵的元素有如下关系:

- ① 矩阵对角元 $a_{jj} = a_{22}^{l_j} + a_{11}^{l_{j+1}}, \quad \forall j = 1, 2, 3, \dots, n-1;$
- ② 矩阵非对角元 $a_{j,j-1} = a_{21}^{l_j}, \quad \forall j = 2, 3, \dots, n;$
- ③ 矩阵非对角元 $a_{j,j+1} = a_{12}^{l_{j+1}}, \quad \forall j = 1, 2, \dots, n-1;$
- ④ 矩阵对角元 $a_{n,n} = a_{22}^{l_n}.$

单元刚度矩阵对总刚度矩阵的叠加方式

当 $j = 1$ 时,

$$\begin{bmatrix} * & * \\ * & a_{22}^{l_1} \end{bmatrix} \rightarrow \begin{bmatrix} a_{11} & \cdots & \cdots \\ \vdots & \ddots & \\ \vdots & & \ddots \end{bmatrix}$$

当 $j = 2, \dots, n$ 时,

$$\begin{bmatrix} a_{11}^{l_j} & a_{12}^{l_j} \\ a_{21}^{l_j} & a_{22}^{l_j} \end{bmatrix} \rightarrow \begin{bmatrix} \vdots & \vdots \\ \cdots & a_{j-1,j-1} & a_{j-1,j} & \cdots \\ \cdots & a_{j,j-1} & a_{j,j} & \cdots \\ \vdots & \vdots \end{bmatrix}$$

单元载荷向量对总载荷向量的叠加方式

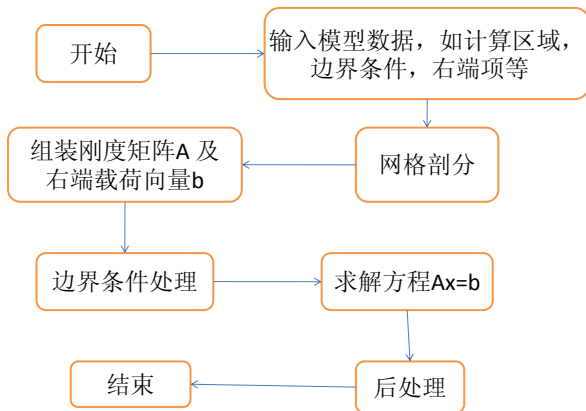
当 $j = 1$ 时,

$$\begin{pmatrix} * \\ b_2^{l_1} \end{pmatrix} \rightarrow \begin{bmatrix} b_1 \\ \vdots \end{bmatrix}$$

当 $j = 2, \dots, n$ 时,

$$\begin{pmatrix} b_1^{l_j} \\ b_2^{l_j} \end{pmatrix} \rightarrow \begin{bmatrix} \vdots \\ b_{j-1} \\ b_j \\ \vdots \end{bmatrix}$$

算法流程



代码实现 I

```
%% 准备初始数据
```

```
% 区间  $[a, b]$ 
```

```
a = 0;
```

```
b = 1;
```

```
%网格剖分尺寸
```

```
h = 0.1;
```

```
% 微分方程模型数据。函数 sindata 返回一个结构体 pde
```

```
% pde.f : 右端项函数
```

```
% pde.exactu : 真解函数
```

```
% pde.Du : 真解导数
```

```
% pde.g_D: D 氏边界条件函数
```

```
pde = sindata();
```

```
% 设定积分精度 Gauss
```

```
option.fQuadOrder = 3;
```

```
option.errQuadOrder = 3;
```


代码实现 II

```
%% 网格剖分
[node,elem,bdFlag] = intervalmesh(a,b,h);

%% 组装刚度矩阵及右端向量、边界条件处理、求解  $Ab$ 
uh = Poisson1d(node, elem, pde, bdFlag,option);

%% 计算  $L2$  和  $H1$  误差、结果可视化
errL2 = getL2error1d(node,elem,pde.exactu,uh,option.errQuadOrder);
errH1 = getH1error1d(node,elem,pde.Du,uh,option.errQuadOrder);
showsolution1d(node,elem,uh,'-+k');
```

模型数据 I

```
function pde = sindata( )  
%% SINDATA  
%  
%  $u = \sin(\pi x)$   
%  $f = \pi * \pi * \sin(\pi x)$   
%  $Du = \pi * \cos(\pi x)$   
%  
  
pde = struct('f',@f,'exactu',@exactu,'g_D',@g_D,'Du',@Du);  
  
% right hand side function  
function z = f(p)  
    x = p;  
    z = pi*pi*sin(pi*x);  
end  
% exact solution  
function z = exactu(p)  
    x = p;  
    z = sin(pi*x);  
end
```

模型数据 II

```
% Dirichlet boundary condition
function z = g_D(p)
    x = p;
    z = exactu(p);
end

% Derivative of the exact solution
function z = Du(p)
    x = p;
    z = pi*cos(pi*x);
end

end
```

网格剖分 I

```
function [node,elem,bdFlag] = intervalmesh(a,b,h)
%% INTERVALMESH the uniform mesh on interval [a,b] with size h.
%
% node(1:N,1): node(i) is the coordinate of i-th
% mesh point.
%
% elem(1:NT,1:2): elem(j,1:2) are the indexes of the two end
% vertices of j-th elements.
%
node = a:h:b;
node = node';
N = length(node);
elem = [1:N-1;2:N];
elem = elem';
bdFlag = false(N,1);
bdFlag([1,N]) = true;
```

网格剖分 I

```
function [node,elem,bdFlag] = intervalmesh(a,b,h)
%% INTERVALMESH the uniform mesh on interval [a,b] with size h.
%
% node(1:N,1): node(i) is the coordinate of i-th
% mesh point.
%
% elem(1:NT,1:2): elem(j,1:2) are the indexes of the two end
% vertices of j-th elements.
%
node = a:h:b;
node = node';
N = length(node);
elem = [1:N-1;2:N];
elem = elem';
bdFlag = false(N,1);
bdFlag([1,N]) = true;
```

sparse函数介绍 I

`sparse` 是 Matlab 中生成稀疏矩阵(只存储非零元素的矩阵)的函数, 下面给出三种基本用法:

`A = sparse(N,N)`: 生成一个规模 $N \times N$ 的稀疏矩阵, 所有元素为0

`A = sparse(B)`: 把 B 转化为相同规模的稀疏矩阵 A

`A = sparse(rows,cols,vals,N,N)`: 通过三元数组组装稀疏矩阵 A

sparse函数介绍 II

```
>> B
```

```
B =
```

1	0	0
0	0	2
3	0	0

```
>> [rows,cols,vals] = find(B)
```

rows =	cols =	vals =
1	1	1
3	1	3
2	3	2

sparse函数介绍 III

```
>> A = sparse(rows,cols,vals,3,3)
```

```
A =
```

(1,1)	1
(3,1)	3
(2,3)	2

accumarray函数介绍 I

accumarray 是 Matlab 中生成满矩阵的函数，基本用法如下：

$A = \text{accumarray}(\text{subs}, \text{vals}, [N, 1])$: 生成一个长度为 N 的列向量，其中 subs 和 vals 是相同长度的向量。

```
>> [subs, vals]
ans =
     1     2.5000
     2     1.3000
     1     2.5000
     4     4.1000
     5     5.1000
```

accumarray函数介绍 II

```
>> b = accumarray(subs,vals,[4,1])
```

```
b =
```

```
5.0000
```

```
1.3000
```

```
3
```

```
4.1000
```

```
5.1000
```

组装刚度矩阵、右端项及求解 I

```
function uh = Poisson1d(node, elem, pde, bdFlag, option)
%% POISSON1D solve 1d Poisson equation by P1 linear element.
%
% uh = Poisson1d(node, elem, pde, bdFlag) produces linear
% finite element approximation of 1d Poisson equation.

N = size(node,1); NT = size(elem,1); Ndof = N;
%% Compute geometric quantities and gradient of local basis
lens = node(elem(:,2))-node(elem(:,1));
Dphi = [-1./lens, 1./lens];

%% Assemble stiffness matrix
A = sparse(Ndof, Ndof);
for i = 1:2
    for j = i:2
        Aij = Dphi(:,i).*Dphi(:,j).*lens;
        if (j==i)
            A = A + sparse(elem(:,i), elem(:,j), Aij, Ndof, Ndof);
        else
```

组装刚度矩阵、右端项及求解 II

```

        A = A + sparse([elem(:,i);elem(:,j)],[elem(:,j);elem
(:,i)]),...
        [Aij; Aij],Ndof,Ndof);
    end
end
end

%% Assemble the right hand side
[lambda,weight] = quadpts1d(option.fQuadOrder);
nQuad = length(weight);
phi = lambda;
bt = zeros(NT,2);
for i = 1:nQuad
    px = node(elem(:,1))*phi(i,1) + node(elem(:,2))*phi(i,2);
    fp = pde.f(px);
    for k = 1:2
        bt(:,k) = bt(:,k) + weight(i)*fp.*phi(i,k);
    end
end
bt = bt.*repmat(lens,1,2);
b = accumarray(elem(:),bt(:),[Ndof 1]);

```

组装刚度矩阵、右端项及求解 III

```
clear bt px;

%% modify left-hand vector
isFixed = bdFlag;
isFree = ~isFixed;
uh = zeros(Ndof,1);
uh(isFixed) = pde.g_D(node(isFixed));
b = b - A*uh;

%% solve
uh(isFree) = A(isFree,isFree)\b(isFree);
```

计算误差 I

```
function err = getL2error1d(node,elem, exactu, uh, quadOrder)
%% GETL2ERROR1D L2 norm of approximation of linear finte
%% element
%
% compute L2 error element-wise using quadrature rule with order
% quadOrder

NT = size(elem,1);
err = zeros(NT,1);
[lambda,weight] = quadpts1d(quadOrder);

% basis function at quadrature points
phi = lambda;

nQuad = length(weight);
for i = 1:nQuad
    uhp = uh(elem(:,1))*phi(i,1) + uh(elem(:,2))*phi(i,2);
    px = node(elem(:,1))*phi(i,1) + node(elem(:,2))*phi(i,2);
    err = err + weight(i)*(exactu(px) - uhp).^2;
end
```

计算误差 II

```

lens = node(elem(:,2)) - node(elem(:,1));
err = err.*lens;
err = sqrt(sum(err));

function err = getH1error1d(node,elem,Du,u,quadOrder)
%% GETH1ERROR1D H1 norm of approximation error of linear finite
%% element
%
% compute H1 error element-wise using quadrature rule
% with order quadOrder

NT = size(elem,1);
err = zeros(NT,1);
[lambda,weight] = quadpts1d(quadOrder);
phi = lambda;
lens = node(elem(:,2))-node(elem(:,1));
Dphi = [-1./lens,1./lens];

nQuad = length(weight);
Duh = u(elem(:,1)).*Dphi(:,1) + u(elem(:,2)).*Dphi(:,2);

```

计算误差 III

```
for i = 1:nQuad
    px = node(elem(:,1))*phi(i,1) + node(elem(:,2))*phi(i,2);
    err = err + weight(i)*(Du(px)-Duh).^2;
end

err = err.*lens;
err = sqrt(sum(err));
```


算例 1: 我们利用有限元法去求解

$$\begin{aligned}-u''(x) &= 16\pi^2 \sin(4\pi x), \\ u(0) &= 0, \quad u(1) = 0.\end{aligned}$$

问题的真解为

$$u(x) = \sin(4\pi x)$$

```
function pde = sin4pdata( )  
%% SINDATA  
%  
% u = sin(4*pi*x)  
% f = 16*pi*pi*sin(4*pi*x)  
% Du = 4*pi*cos(4*pi*x)  
%
```

```
pde = struct('f',@f,'exactu',@exactu,'g_D',@g_D,'Du',@Du);
```

```
% right hand side function
```

```
function z = f(p)
    x = p;
    z = 16*pi*pi*sin(4*pi*x);
end
% exact solution
function z = exactu(p)
    x = p;
    z = sin(4*pi*x);
end
% Dirichlet boundary condition
function z = g_D(p)
    x = p;
    z = exactu(p);
end
% Derivative of the exact solution
function z = Du(p)
    x = p;
    z = 4*pi*cos(4*pi*x);
end

end
```

```
function [N,errL2,errH1] = femtest1d()
%% the initial data
h = 0.1;
a = 0;
b = 1;
pde = sin4pdata();
option.fQuadOrder = 3;
option.errQuadOrder = 3;

maxIt = 5;
errL2 = zeros(maxIt,1);
errH1 = zeros(maxIt,1);
N = zeros(maxIt,1);

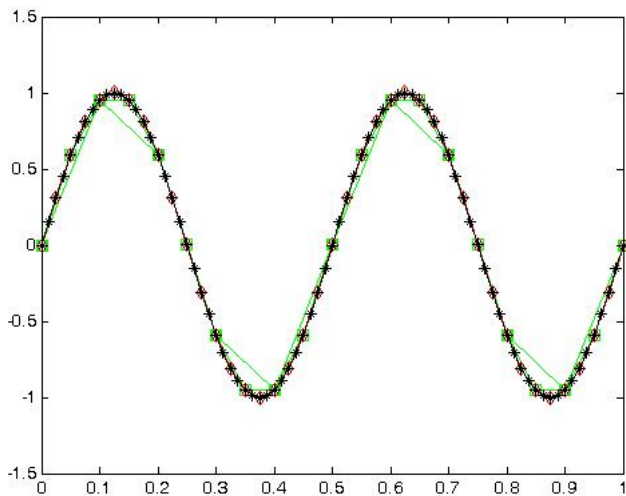
for i = 1:maxIt
    [node,elem, bdFlag] = intervalmesh(a,b,h/2^(i-1));
    uh = Poisson1d(node,elem,pde,bdFlag,option);
    N(i) = size(elem,1);

    name = ['solution' int2str(N(i))];
    save(name,'node','elem','uh');
    errL2(i) = getL2error1d(node,elem,pde.exactu,uh,option.
    errQuadOrder);
```

```
errH1(i) = getH1error1d(node,elem,pde.Du,u,option.  
errQuadOrder);
```

```
end
```

有限元解



误差

可得如下结果

N	10	20	40	80	160
$\ u - u_h\ _0$	8.8574e-2	2.2976e-2	5.7977e-3	1.4528e-3	3.6341e-4
误差比	-	3.8551	3.9630	3.9907	3.9977
$ u - u_h _1$	3.1532	1.6029	8.0475e-1	4.0279e-1	2.0145e-1
误差比	-	1.9672	1.9918	1.9979	1.9995

Table: 其中N是单元个数。

设 h 为单元尺寸, 由以上数据结果可知:

$$\begin{aligned}\|u - u_h\|_0 &\approx O(h^2) = O(N^{-2}) \\ |u - u_h|_1 &\approx O(h^1) = O(N^{-1})\end{aligned}$$

数据分析

给定单元个数向量 N 和 误差向量 err ，我们可以利用 Matlab 中的：

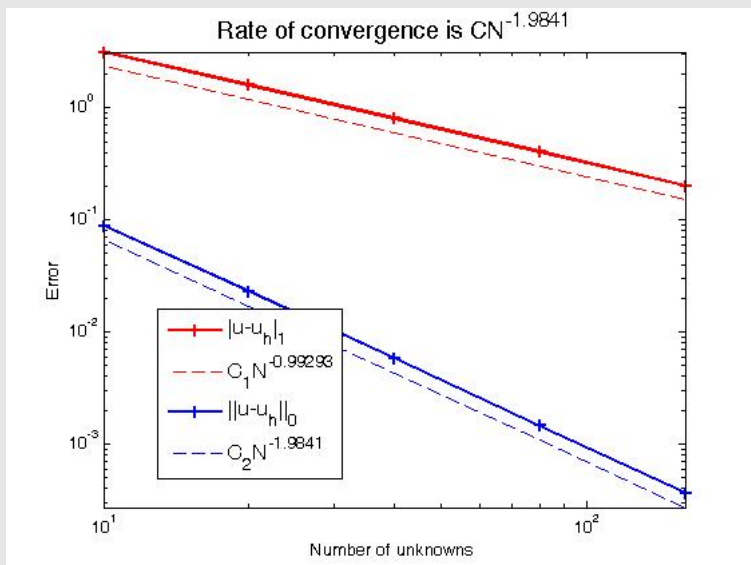
polyfit: 多项式拟合函数。例子：

```
p = polyfit(log(N),log(err),1)
```

loglog : X 和 Y 轴都取 \log 的画图函数。

```
loglog(N,err,'-*')
```

对上述计算结果进行数据分析和可视化。



线性元误差估计

给定两点边值问题 (A)

$$\begin{cases} Lu = -\frac{d}{dx}\left(p\frac{du}{dx}\right) + qu = f, & a < x < b \\ u(a) = 0, u'(b) = 0 \end{cases} \quad (68)$$

设 u_h 是 u 的线性元解函数, 下面分别在两种不同的范数下,

$$\|\cdot\|_1 \text{ 和 } \|\cdot\|_0$$

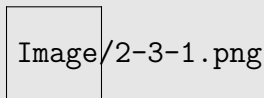
给出有限元函数的误差估计.

线性元误差估计

- H_1 范数 ($\|\cdot\|_1$) 下的误差估计

由 Ritz-Galerkin 理论, 有

$$a(u - u_h, v_h) = 0, \quad \forall v_h \in V_E^h \quad (69)$$



拟最佳逼近性质

$$\|u - u_h\|_1 \leq \beta \inf_{\forall v_h \in V_E^h} \|u - v_h\|_1 \quad (70)$$

称 $u_I(x) \in V_E^h$ 为 $u(x) \in H_E^1 \cap C(\bar{I})$ 的**分段线性插值函数**, 如果它满足

$$u_I(x_i) = u(x_i), \quad i = 1, \dots, n \quad (71)$$

当 $x \in I_k, k = 1, \dots, n$ 时, 有

$$\begin{aligned} u_I(x) &= u_I(x_{k-1})N_0(\xi) + u_I(x_k)N_1(\xi) \\ &= u(x_{k-1})N_0(\xi) + u(x_k)N_1(\xi) \end{aligned}$$

$$x = x_{k-1}N_0(\xi) + x_kN_1(\xi)$$

利用 (70), 有

$$\|u - u_h\|_1 \leq \beta \|u - u_I\|_1 \quad (72)$$

设 $u \in C^2(\bar{I})$, 下面给出 $\|u - u_I\|_1$ 的估计.

首先给出 $\|u - u_I\|_0^2$ 的估计. 对 $\forall x \in I_i$, 有

$$u(x) - u_I(x) = \frac{(x - x_{i-1})(x - x_i)}{2} u''(\xi_i), \quad \xi_i \in (x_{i-1}, x_i)$$

\Rightarrow

$$|u(x) - u_I(x)| \leq \frac{h_i^2}{2} \max_{x \in I_i} |u''(x)| \leq \frac{h^2}{2} \max_{x \in \bar{I}} |u''(x)| := \frac{h^2}{2} \|u''\|_{\infty, \bar{I}}$$

\Rightarrow

$$\|u - u_I\|_0^2 \leq \frac{b-a}{4} h^4 \|u''\|_{\infty, \bar{I}}^2 \quad (73)$$

接着给出 $\|u' - u'_I\|_0^2$ 的估计. 易知: $\exists \eta_i \in (x_{i-1}, x_i)$, 使得

$$u'_I(\eta_i) = u'(\eta_i). \quad (74)$$

\Rightarrow

$$u'(x) = u'(\eta_i) + (x - \eta_i)u''(\gamma_i) = u'_I(x) + (x - \eta_i)u''(\gamma_i) \quad \gamma_i \in I_i$$

\Rightarrow

$$|u'(x) - u'_I(x)| \leq h|u''(\gamma_i)| \leq h\|u''\|_{\infty, \bar{I}}$$

\Rightarrow

$$\|u' - u'_I\|_0^2 \leq (b-a)h^2 \|u''\|_{\infty, \bar{I}}^2$$

由上式和 (73) 可得

$$\|u - u_I\|_1 \leq Ch \|u''\|_{\infty, \bar{I}} = O(h \|u''\|_{\infty, \bar{I}})$$

结合上式和 (72) 可得

$$\|u - u_h\|_1 \leq O(h \|u''\|_{\infty, \bar{I}})$$

进而得到了线性元的收敛性.

习题 1* 设 $u \in H^2(I) \cap H_E^1(I)$, 试证明分段线性插值函数 $u_I(x)$ 满足

$$\|u - u_I\|_1 \leq Ch\|u''\|_0 = O(h\|u''\|_0). \quad (75)$$

进而有

$$\|u - u_h\|_1 \leq O(h\|u''\|_0) \quad (76)$$

(提示: 利用带积分余项的 Taylor 展开)

2. L^2 范数 ($\|\cdot\|_0$) 下的误差估计

首先给出微分方程先验估计理论.

引理 1 设问题 (68) 中的 $f, q \in C(\bar{I})$, $p \in C^1(\bar{I})$, $p \geq p_{\min} > 0$, $q \geq 0$, $I = (a, b)$, 则解函数 $u(x) \in C^2(\bar{I})$, 且满足

$$\|u''\|_0 \leq C\|f\|_0 \quad (77)$$

证明：关于 $u(x) \in C^2(\bar{I})$ 可见常微理论，下面证明 (77)。

$$a(u, v) = (f, v), \quad \forall v \in H_E^1$$

\Rightarrow

$$\begin{aligned} \|u\|_1^2 &\leq \gamma^{-1} a(u, u) = \gamma^{-1} (f, u) \\ &\leq \gamma^{-1} \|u\|_0 \|f\|_0 \leq \gamma^{-1} \|u\|_1 \|f\|_0 \end{aligned}$$

\Rightarrow

$$\|u\|_1 \leq \gamma^{-1} \|f\|_0$$

因为函数 $u(x)$ 满足 (68)，即

$$-p(x)u''(x) = p'(x)u'(x) - q(x)u(x) + f(x)$$

\Rightarrow

$$\|u''\|_0 \leq C[\|f\|_0 + \|u\|_1] \leq C_2 \|f\|_0$$

利用 Nitsche (尼采)技巧 (对偶论证法), 给出 $\|u - u_h\|_0$ 的估计.

引入辅助函数 $w(x)$, 满足

$$a(v, w) = (u - u_h, v), \forall v \in H_E^1$$

特取 $v = u - u_h$, 并利用正交投影性质 (69), 有

$$\|u - u_h\|_0^2 = (u - u_h, u - u_h) = a(u - u_h, w) = a(u - u_h, w - w_I)$$

进一步, 利用双线性泛函的有界性, (75), (76) 和 (77), 可得

$$\begin{aligned}\|u - u_h\|_0^2 &\leq M \|w - w_I\|_1 \cdot \|u - u_h\|_1 \leq O(h^2 \|w''\|_0 \cdot \|u''\|_0) \\ &\leq O(h^2 \|u - u_h\|_0 \cdot \|f\|_0)\end{aligned}$$

将上式两边同时除以 $\|u - u_h\|_0$ 可得

$$\|u - u_h\|_0 \leq O(h^2 \|f\|_0)$$



习题 2 P52. 2.2.1 (即给出 $\|\cdot\|_\infty$ 下的线性有限元函数的误差估计)